

Traitement des Images Numériques

Traitements locaux - contours
2019-2020

Convolution discrète

$$f \otimes g(i, j) = \sum_{\alpha=-\infty}^{+\infty} \sum_{\beta=-\infty}^{+\infty} f(i-\alpha, j-\beta) \cdot g(\alpha, \beta)$$

- Une image a un support borné et est définie par une matrice de valeurs $(f_{ij})_{ij}$ où i est l'indice de ligne et j indice de colonne
- Si le support de la fonction de référence est un carré de côté $2p+1$ centré à l'origine

$$f \otimes g(i, j) = \sum_{\alpha=-p}^{+p} \sum_{\beta=-p}^{+p} f_{i-\alpha, j-\beta} \cdot g(\alpha, \beta) = \sum_{\alpha=-p}^{+p} \sum_{\beta=-p}^{+p} f_{i-\alpha, j-\beta} \cdot a_{\alpha, \beta}$$

images - 2019/2020

Définition d'un traitement

- Choix d'un voisinage
 - Sa forme
 - Sa taille p ou $(2p+1)$
- Choix de la fonction de référence, des coefficients a_{ij} qui définissent un masque de convolution
- $Q_{ij} = a_{00}P_{ij} + a_{10}P_{i-1,j} + a_{11}P_{i-1,j-1} + a_{01}P_{i,j-1} + a_{-11}P_{i+1,j-1} + a_{-10}P_{i+1,j} + a_{-1-1}P_{i+1,j+1} + a_{0-1}P_{i,j+1} + a_{1-1}P_{i-1,j+1}$

$$\begin{matrix} a_{-11} & a_{01} & a_{11} \\ a_{-10} & a_{0,0} & a_{10} \\ a_{-1-1} & a_{0-1} & a_{1-1} \end{matrix}$$

images - 2019/2020

Filtres de convolution

- Taille du masque
- Traitement linéaire
- Détermination automatique de l'opérateur en fonction de l'objectif
- Parallélisable
- L'image transformée s'écrit :

$$I' = I \otimes m$$

images - 2019/2020

Lissage

- Remplacer le niveau de gris d'un pixel par la moyenne des niveaux des pixels voisins

$$\frac{1}{9} \begin{bmatrix} 1 & 1 & 1 \\ 1 & 1 & 1 \\ 1 & 1 & 1 \end{bmatrix}$$

- La somme des coefficients est égale à 1 pour conserver la dynamique de l'image

images - 2019/2020

Régularisation

- Défocalisation de l'objectif fonction de la taille du filtre – dégradation des contours
- Diminution de l'effet de flou

$$\frac{1}{10} \begin{bmatrix} 1 & 1 & 1 \\ 1 & 2 & 1 \\ 1 & 1 & 1 \end{bmatrix} \quad \frac{1}{16} \begin{bmatrix} 1 & 2 & 1 \\ 2 & 4 & 2 \\ 1 & 2 & 1 \end{bmatrix}$$

images - 2019/2020

Filtre médian

- Ce n'est pas un filtre de convolution
- La moyenne est un paramètre moins robuste que la médiane
- Plus adapté au bruit implusionnel
- Remplace le niveau de gris du pixel central d'une fenêtre par la valeur médiane des niveaux de gris des pixels de la fenêtre

images - 2019/2020

Filtre médian

25	77	71
77	253	81
77	75	79

25	71	75	77	77	79	81	253
----	----	----	----	----	----	----	-----

25	77	71
77	77	81
77	75	79

images - 2019/2020

Restauration d'images

- Suppression du bruit sans altération des contours
- pondérer les points de la région du pixel plus fortement que ceux d'une région voisine dans le masque

$$Q_{i,j} = \sum_k \sum_l P_{i+k,j+l} \cdot a_{k,l}$$

$$d(k,l) = \frac{1}{P_{i+k,j+l} - P_{i,j}} \quad d(0,0) = 2 \quad a_{k,l} = \frac{d(k,l)}{2 \sum_k \sum_l d(k,l)} \quad a_{0,0} = \frac{1}{2}$$

images - 2019/2020

Composition

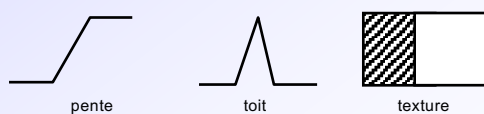
- Filtre moyenneur et filtre de contour

$$m \otimes g \quad \begin{bmatrix} 1 & 1 & 1 \\ 1 & 1 & 1 \\ 1 & 1 & 1 \end{bmatrix} \quad \begin{bmatrix} 1 & 1 & 1 \\ 0 & 0 & 0 \\ -1 & -1 & -1 \end{bmatrix}$$

$$\begin{bmatrix} 1 & 2 & 3 & 2 & 1 \\ 1 & 2 & 3 & 2 & 1 \\ 0 & 0 & 0 & 0 & 0 \\ -1 & -2 & -3 & -2 & -1 \\ -1 & -2 & -3 & -2 & -1 \end{bmatrix}$$

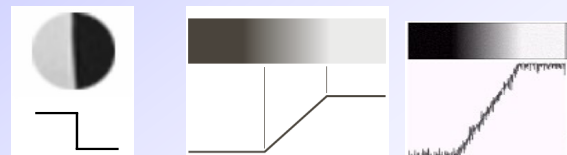
images - 2019/2020

Contours



images - 2019/2020

Contours



- Discontinuités locales des niveaux de gris
- Recherche des points de forte dérivée
- Recherche des points de faible Laplacien
- Détection de points de contour
- Rehaussement de contours

images - 2019/2020

Dérivée discrète

- Recherche des points de gradient maximum

$$\overrightarrow{\text{grad}} f \text{ en } M(x, y) : \begin{bmatrix} \frac{\partial f}{\partial x}(x, y) \\ \frac{\partial f}{\partial y}(x, y) \end{bmatrix}$$

- Pour une fonction d'une variable $\frac{f(i+1) - f(i)}{1}$

- Pour une fonction de deux variables

$$\frac{\partial f}{\partial x}(i, j) \approx \frac{f(i+1, j) - f(i, j)}{1} \approx \frac{f(i, j) - f(i-1, j)}{1}$$

images - 2019/2020

Extraction de contour

- Vertical

$$\begin{bmatrix} 0 & 0 & 0 \\ 1 & -1 & 0 \\ 0 & 0 & 0 \end{bmatrix}$$

- Horizontal

$$\begin{bmatrix} 0 & 0 & 0 \\ 0 & -1 & 0 \\ 0 & 1 & 0 \end{bmatrix}$$

$$\begin{bmatrix} 0 & 0 & 0 \\ 1 & -2 & 0 \\ 0 & 1 & 0 \end{bmatrix}$$

- Maximisation de la norme euclidienne $\sqrt{Q_{ij}^1{}^2 + Q_{ij}^2{}^2}$

Filtre de

Sobel

$$Q_{i,j}^1 \begin{bmatrix} -1 & 0 & 1 \\ -2 & 0 & 2 \\ -1 & 0 & 1 \end{bmatrix}$$

$$Q_{i,j}^2 \begin{bmatrix} 1 & 2 & 1 \\ 0 & 0 & 0 \\ -1 & -2 & -1 \end{bmatrix}$$

images - 2019/2020

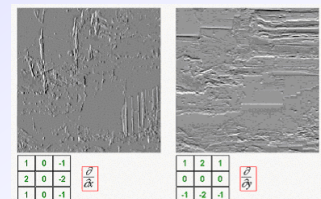
Gradient simple

- Norme du gradient : $G(x, y)$
- $G(x, y) = |G_x| + |G_y|$



images - 2019/2020

Filtre de Sobel



Images - 2019/2020

Filtre de Sobel



images - 2019/2020

Opérateurs de gradient

- Prewitt

$$\begin{bmatrix} -1 & 0 & 1 \\ -1 & 0 & 1 \\ -1 & 0 & 1 \end{bmatrix}$$

$$\begin{bmatrix} 1 & 1 & 1 \\ 0 & 0 & 0 \\ -1 & -1 & -1 \end{bmatrix}$$

- Kirsh avec 8 masques

$$\begin{bmatrix} 5 & 5 & -3 \\ 5 & 0 & -3 \\ -3 & -3 & -3 \end{bmatrix}$$

$$\begin{bmatrix} 5 & 5 & 5 \\ -3 & 0 & -3 \\ -3 & -3 & -3 \end{bmatrix}$$

$$\begin{bmatrix} -3 & 5 & 5 \\ -3 & 0 & 5 \\ -3 & -3 & -3 \end{bmatrix}$$

$$\begin{bmatrix} -3 & -3 & 5 \\ -3 & 0 & 5 \\ -3 & -3 & 5 \end{bmatrix}$$

$$\begin{bmatrix} -3 & -3 & -3 \\ -3 & 0 & 5 \\ -3 & 5 & 5 \end{bmatrix}$$

$$\begin{bmatrix} -3 & -3 & -3 \\ -3 & 0 & -3 \\ 5 & 5 & 5 \end{bmatrix}$$

$$\begin{bmatrix} -3 & -3 & -3 \\ 5 & 0 & -3 \\ 5 & 5 & -3 \end{bmatrix}$$

$$\begin{bmatrix} 5 & -3 & -3 \\ 5 & 0 & -3 \\ 5 & -3 & -3 \end{bmatrix}$$

Images - 2019/2020

Extracteur de Sobel

- Sommé sur chaque composante
- Résultat tronqué au-delà de 255



Images - 2019/2020

- So
- Re



Dérivée discrète

- Recherche des points de gradient maximum

$$\overrightarrow{\text{grad}} f \text{ en } M(x, y): \begin{cases} \frac{\partial f}{\partial x}(x, y) \\ \frac{\partial f}{\partial y}(x, y) \end{cases}$$

- Pour une fonction d'une variable $\frac{f(i+1) - f(i)}{1}$

- Pour une fonction de deux variables

$$\frac{\partial f}{\partial x}(i, j) \approx \frac{f(i+1, j) - f(i, j)}{1} \approx \frac{f(i, j) - f(i-1, j)}{1}$$

Images - 2019/2020

Le Laplacien

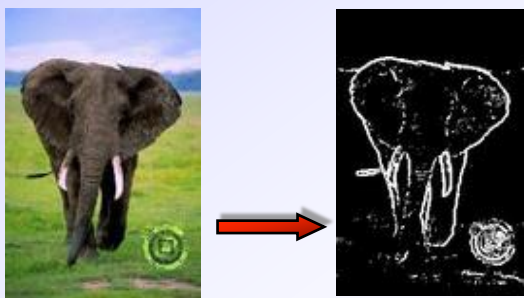
- Définition $\Delta f(x, y) = \frac{\partial^2 f}{\partial x^2}(x, y) + \frac{\partial^2 f}{\partial y^2}(x, y)$
- Recherche des points de faible Laplacien
- Expression dans le discret

$$\frac{\partial^2 f}{\partial x^2}(i, j) = \frac{\partial f}{\partial x}(i+1, j) - \frac{\partial f}{\partial x}(i, j) = f(i+1, j) - 2f(i, j) + f(i-1, j)$$

$$\begin{bmatrix} 0 & 1 & 0 \\ 1 & -4 & 1 \\ 0 & 1 & 0 \end{bmatrix} \quad \begin{bmatrix} 1 & 1 & 1 \\ 1 & -8 & 1 \\ 1 & 1 & 1 \end{bmatrix}$$

Images - 2019/2020

Contour par Laplacien



Images - 2019/2020